

EXTENDED ABSTRACT

Technical Evaluation of Classic Stationary Sprinkler Irrigation Systems with Travelling Sprinklers in Eghlid, Fars Province

S. Kazemi¹, S. Boroomand-Nassab^{2*} and Z. Izadpanah³

- 1- M.Sc. Graduate, Faculty of Water Sciences Engineering - Irrigation and Drainage, Shahid Chamran University of Ahvaz, Ahvaz, Iran.
- 2* - Corresponding Author, Professor, Faculty of Water Sciences Engineering, Shahid Chamran University of Ahvaz, Ahvaz, Iran.
- 3- Assistant Professor, Faculty of Water Sciences Engineering, Shahid Chamran University of Ahvaz, Ahvaz, Iran.

Received: 21 February 2016

Revised: 4 October 2017

Accepted: 9 October 2017

Keywords: Potential Application Efficiency, Christensen Uniformity Coefficient, Uniformity Distribution.
DOI: 10.22055/jise.2017.21215.1525.

Introduction

Due to the climatic conditions of Iran, the limitations of irrigation resources, and low irrigation efficiency in traditional methods, on the one hand, and the existence of arenas for the development of blue land and the increasing need for food, on the other, application of pressurized irrigation methods as one of the most effective ways to optimally use existing water resources is inevitable (Baradaranhazave et al., 2006). In recent years, the methods of irrigation under pressure, especially the classic sprinkler irrigation with travelling sprinklers have, in general, been used in Fars province, and in the city of Eghlid, in particular. The purpose of the present study was to determine the efficiency of the system after the implementation of the system, the maximum irrigation efficiency of the system, and its difference with the amount available in field conditions.

Methodology

In this study, field operations were carried out in eight farms during July, August, and September of 2015 in the first half of the day. After the visit, the initial data and farm measurements were obtained. Plant and climate parameters were collected from the nearest meteorological station and soil parameters were measured. Specifications of sprinkler irrigation systems are presented in Table (1). The indicators evaluated in this study are presented in Table (2).

Table 1- Specifications of under study sprinkler irrigation systems

System code	Village	System type	product type	Area	Water supply	Sprinkler distances	Sprinkler Model
GW ₁	Shahrmiyan	Fixed classic	Clover	25	Agricultural wells	25*25	VYR155
GW ₂	Khonjagesht	Fixed classic	Wheat	10	Agricultural wells	25*25	AMBOO
GW ₃	Cheshmerana	Fixed classic	potato	5	Agricultural wells	25*25	VYR155
GW ₄	Nezamabad	Fixed classic	Sugar beet	10	Agricultural wells	25*25	VYR155
GW ₅	Hasanabad	Fixed classic	potato	8	Agricultural wells	25*25	VYR155
GW ₆	Namdan	Fixed classic	Alfalfa	10	Agricultural wells	25*25	AMBOO
GW ₇	Aspas	Fixed classic	Wheat	10	Agricultural wells	25*25	VYR155
GW ₈	Sede	Fixed classic	potato	5	Agricultural wells	25*25	VYR155

Table2- The evaluated indicators

1. Christensen uniformity coefficient	4. Distribution uniformity of the whole system	7. Wind and evaporation losses	10. Application efficiency
2. Distribution uniformity	5. Potential application efficiency of low quarter	8. Deep percolation losses	11. Combination efficiency
3. Christensen uniformity coefficient of the whole system	6. Actual efficiency of low quarter	9. Adequacy irrigation in low quarter	

Results and Discussion

Table (3) shows the parameters of Christensen uniformity coefficient, uniformity of water distribution in the low quadrant, potential efficiency, and actual efficiency of low quarter in the test block and irrigation system. The highest uniformity and uniformity distribution coefficients in the experimental block were found for GW₂ irrigation systems. The reasons can be the right distances between sprinklers, the type of sprinkler, and the proper weather conditions (wind and temperature). The means of potential efficiency and actual efficiency of low quarter application in the test block were calculated to be 58.44 and 55.95, respectively.

The parameters of the operating pressure used in irrigation systems are presented in Table (4). Among the irrigation systems examined, only the GW₁ irrigation system had a suitable pressure and the rest were of low average pressure and less than the design value. The difference in pressure in the GW₈ irrigation system reduced the uniformity of the distribution, resulting in reduced efficiency of application's potential. In this irrigation system, water losses in the pipe paths, especially at the joints, caused friction.

Fig. (1) shows the adequacy of irrigation in the fourth quarter in the eight irrigation systems. As noted earlier, the efficiency of irrigation at the bottom quarter in the GW₈ irrigation system is more than 100 %, and the difference from 100 points indicates that the farm has received more water than it needed. Therefore, field management can reduce the amount of deep penetration by reducing the duration of irrigation and increase the actual efficiency of the application to the efficiency of the quadrant potential. (irrigation time in this irrigation system was 3 hours). Mikhakbayranvand et al. (2014) achieved similar results in Khorramabad.

Table 3- Summary of results of evaluation parameters in classic stationary sprinkler irrigation systems with travelling sprinklers

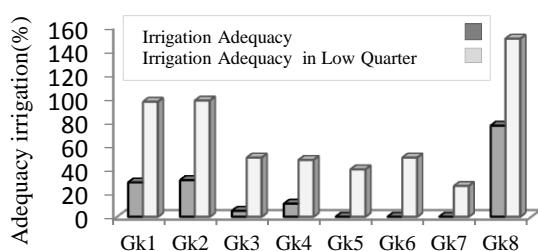
System code	Actual efficiency of Low Quarter	Potential Application Efficiency of Low Quarter	Distribution Uniformity	Christensen Uniformity Coefficient	Actual efficiency of Low Quarter	Potential Application Efficiency of Low Quarter	Distribution Uniformity	Christensen Uniformity Coefficient
	System(%)				Test block(%)			
GW ₁	63.97	63.97	68.73	75.19	66.64	66.64	70.52	76.48
GW ₂	57.67	57.67	72.99	81.77	62.44	62.44	76.47	84.33
GW ₃	66.90	66.90	62.88	74.71	70.13	70.13	64.80	76.22
GW ₄	58.46	58.46	63.11	70.59	61.18	61.18	64.95	71.95
GW ₅	59.34	59.34	67.76	81.48	62.66	62.66	76.41	83.36
GW ₆	46.42	46.42	68.99	79.43	49.61	49.61	71.97	81.68
GW ₇	30.94	30.94	33.44	56.38	35.55	35.55	41.48	64.74
GW ₈	34.98	52.4	56.65	67.4	39.4	59.35	61.39	71.05

Table 4- Pressure changes in classic stationary sprinkler irrigation systems with travelling sprinklers

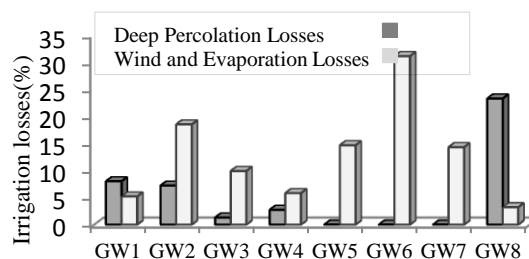
System code	Reduction efficiency	Pressure changes (%)	Minimum pressure (bar)	Maximum pressure (bar)	Maximum pressure (bar)
GW ₁	0.04	20	4.2	5.1	4.5
GW ₂	0.076	38	3	4.3	3.4
GW ₃	0.046	23	3.2	4	3.47
GW ₄	0.044	22	5	6.2	5.4
GW ₅	0.053	26	3.1	4	3.4
GW ₆	0.064	32	2.5	3.4	2.8
GW ₇	0.13	50	3	4.8	3.6
GW ₈	0.12	59	3.2	3.8	2.73

Figure (2) shows irrigation losses. The evaporation and winding losses in the GW₆ irrigation system were higher than other evaluated irrigation systems, which can be attributed to very high temperatures.

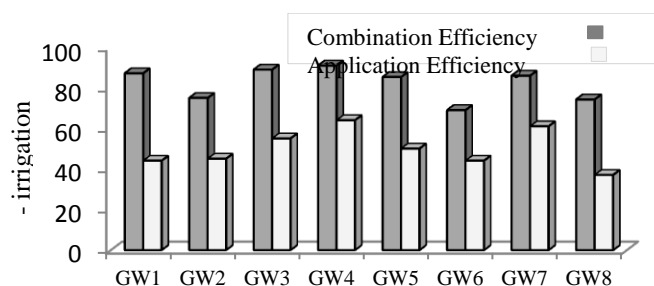
Figure (3) shows the combined efficiency and application in eight irrigation systems. Due to high irrigation losses in the GW₈ irrigation system, the combined efficiency and utility efficiency show small values.



Irrigation system studied

Fig. 1- Irrigation adequacy in evaluated irrigation systems

Irrigation system studied

Fig. 2- Irrigation losses in evaluated irrigation systems

Irrigation system

Fig. 3- Irrigation efficiency in evaluated irrigation systems

Conclusions and Recommendations

The reason for low uniformity coefficients in the evaluated systems can be the simultaneous use of a large number of sprinklers, the operating pressure less than the expected level, and the great distance between them. Reduced combined efficiency and application efficiency in some systems came from depth tolls, evaporation, and winding. Reducing the length of the irrigation pipes, paying attention to the position and height from the ground, and eliminating the problem of water leakage at joints can

reduce the pressure variation and increase the efficiency of irrigation. By reducing losses and preventing pressure changes, we can expect better potential efficiency indexes. Based on the results of this research, it is recommended that irrigation systems be evaluated at the early stages of operation in order to identify the problems at the outset.

References:

- 1- Baradaranhazave, F., Broomandnasab, S., Behzad, M. and Hasani Movahed, A., 2006. Technical appraisal of sprinkler irrigation systems implemented in Arak city. National Conference on Irrigation and Drainage Networks Management, *Shahid Chamran University of Ahvaz*. (In Persian).
- 2- Mikhakbayranvand, Z., Bromandnasab, S. and Izadpanah, Z., 2014. Irrigation efficiency of irrigation systems in Khorramabad region. *Water and Irrigation Management*. 4 (2), pp. 191-202. (In Persian).



© 2019 by the authors. Licensee SCU, Ahvaz, Iran. This article is an open access article distributed under the terms and conditions of the Creative Commons Attribution 4.0 International (CC BY 4.0 license) (<http://creativecommons.org/licenses/by/4.0/>).



ارزیابی فنی سیستم‌های آبیاری بارانی کلاسیک ثابت با آب‌پاش متحرک (AMBOO, VYR155) در شهرستان اقلید- فارس

سمانه کاظمی^۱، سعید برومندنسب^۲ و زهرا ایزدپناه^۳

۱- دانش‌آموخته کارشناسی ارشد آبیاری و زهکشی، دانشکده مهندسی علوم آب، دانشگاه شهید چمران اهواز.

۲- نویسنده مسئول، استاد دانشکده مهندسی علوم آب، دانشگاه شهید چمران اهواز boroomand@scu.ac.ir

۳- استادیار دانشکده مهندسی علوم آب، دانشگاه شهید چمران اهواز.

پذیرش: ۱۳۹۶/۷/۱۷

بازنگری: ۱۳۹۶/۷/۱۲

دریافت: ۱۳۹۵/۱۱/۳۰

چکیده

دقت در طراحی و مدیریت صحیح سیستم‌های آبیاری بارانی از عوامل مهم در توسعه و بهبود آن‌هاست. بنابراین در این پژوهش، به بررسی نحوه طراحی، اجرا و بهره‌برداری از سیستم‌های آبیاری بارانی کلاسیک ثابت با آب‌پاش متحرک در شهرستان اقلید در فارس پرداخته شد. برای این منظور، هشت سیستم به‌عنوان نمونه انتخاب شد. برای ارزیابی این سیستم‌ها از معیارهای ضریب یکنواختی کریستیانسن (CU)، یکنواختی توزیع (DU)، بازده پتانسیل کاربرد در ربع پایین (PELQ)، بازده واقعی کاربرد در ربع پایین (AELQ)، بازده کاربرد (Ea)، بازده ترکیبی (Ec)، تلفات تبخیر و بادبردگی (WDEL) و تلفات نفوذ عمقی (DP) استفاده شد. مقادیر متوسط شاخص‌های CU، AELQ، PELQ، DU، EA، EC، WDEL و DP به ترتیب برابر ۷۳/۳۷، ۶۱/۸۲، ۵۴/۵۱، ۵۰، ۵۲/۳۱، ۵۰، ۸۲/۱، ۱۲/۸۴ و ۵/۳۲ درصد به دست آمد. نتایج این تحقیق بیانگر این بود که دلیل پایین بودن PELQ و AELQ مشکلات مربوط به طراحی و بهره‌برداری است. براساس نتایج، می‌توان با کاهش فواصل آب‌پاش‌ها، تنظیم فشار و عدم استفاده از تعداد زیاد آب‌پاش به‌طور هم‌زمان، یکنواختی توزیع را افزایش داد. همچنین با کاهش مدت زمان آبیاری، تلفات آبیاری کاهش و بازده کاربرد آب در سیستم افزایش می‌یابد.

کلیدواژه‌ها: اقلید، بازده پتانسیل کاربرد، ضریب یکنواختی کریستیانسن.

مقدمه

به مدیر کمک می‌کند که تصمیم بگیرد آیا بهره‌برداری از سامانه آبیاری به صورت فعلی ادامه یابد یا نیاز به اصلاح آن می‌باشد (Salem, 2010). ارزیابی روش‌های آبیاری شامل تعیین بازده واقعی کاربرد آب، بررسی روش مدیریت مزرعه و به‌دست آوردن حداکثر عملکرد واقعی سیستم است. به‌منظور افزایش بازده آبیاری، در صورتی که مدیریت مزرعه و یا بازده واقعی سیستم پایین باشد، با اتخاذ تدابیری می‌توان به پتانسیل عملکرد واقعی سیستم رسید (Baradaranhazave et al., 2006).

Malekpoor et al. (2015) تحقیقی مبنی بر ارزیابی سیستم‌های آبیاری بارانی کلاسیک ثابت با آب‌پاش متحرک در دشت قزوین انجام دادند. نتایج نشان داد که در هیچ یک از مزارع تحت مطالعه، محدودیتی در کیفیت آب و خاک وجود ندارد و بازده پتانسیل کاربرد، ضریب یکنواختی و یکنواختی توزیع در حدود توصیه شده قرار دارند. Ci v Se marde and ba yazidi. (2011) در مطالعه‌ای روی سیستم‌های آبیاری بارانی در مهاباد میانگین مقادیر ضریب یکنواختی کریستیانسن، یکنواختی توزیع، بازده کاربرد و پتانسیل در ربع پایین سامانه را به- ترتیب برابر ۶۶/۴، ۵۲/۲، ۴۵/۸ و ۴۵/۸ درصد به دست آوردند. نتایج نشان داد پایین بودن ضرایب یکنواختی به‌علت سرعت باد و

آب منبعی محدود و البته ضروری برای جوامع بشری و سیستم اکولوژیکی وابسته به آن است. با رشد جمعیت و توسعه اقتصادی در بسیاری از کشورها و مناطق جهان، این منبع بارزش به شکلی فزاینده رو به کاهش است (Soltani Mohammadi et al., 2013). کمبود منابع آب در اکثر کشورهای جهان باعث شده است که زارعین به‌جای روش‌های سنتی از روش‌های تحت‌فشار استفاده کنند تا بر مصرف آب کنترل بیشتری داشته باشند (Alizade, 2009a). با توجه به شرایط اقلیمی ایران، محدودیت منابع آبیاری، پایین بودن بازده آبیاری در روش‌های سنتی، از یک طرف، و وجود عرصه‌های توسعه زمین‌های آبی و نیاز روز افزون به مواد غذایی از طرف دیگر، کاربرد روش‌های آبیاری تحت‌فشار را به‌عنوان یکی از مؤثرترین راه‌های استفاده بهینه از منابع آب موجود اجتناب‌ناپذیر می‌نماید (Baradaranhazave et al., 2006). با توجه به مشکلات طرح‌های اجرا شده در مناطق مختلف، روش منطقی این است که پس از طراحی و اجرای یک پروژه آبیاری، عملکرد آن در دوره بهره‌برداری از سیستم بررسی شود و به این ترتیب مشکلات سیستم آبیاری مشخص شود. اهمیت ارزیابی به‌خاطر این است که

آب‌پاش‌ها بر یکنواختی توزیع آب در سیستم آبیاری بارانی در لن کائی اورگان پرداختند. نتایج نشان داد با تعویض آب‌پاش‌های نو به جای آب‌پاش‌های فرسوده شدت پاشش از ۱۰/۱ به ۸/۳ میلی متر در ساعت کاهش و یکنواختی توزیع از ۸۲ به ۸۸ درصد افزایش می‌یابد. Montero et al. (2003) بیان نمودند فشار کارکرد، اصلی‌ترین عامل سیستمی موثر بر توزیع آب در آبیاری بارانی است.

در سال‌های اخیر روش‌های آبیاری تحت فشار به خصوص آبیاری بارانی کلاسیک ثابت با آب‌پاش متحرک در استان فارس به خصوص شهرستان اقلید توسعه بسیار زیادی داشته است. از آن‌جا که ماهیت مسایل کشاورزی تحت تأثیر عوامل متعددی قرار دارد و هر گونه تغییر و تحولی بایستی با احتیاط کامل صورت گیرد و با توجه به اشکال‌های موجود در طراحی، اجرا، مسایل اجتماعی، اقتصادی و کمبود آب، ارزیابی عملکرد سیستم‌ها امری ضروری به نظر می‌رسد. هدف از مطالعه حاضر، از یک سو تعیین کارایی سیستم پس از اجرا تعیین حداکثر بازده آبیاری سیستم و تفاوت آن با میزان موجود در شرایط مزرعه است.

مواد و روش‌ها

معرفی منطقه مورد مطالعه

استان فارس با وسعت ۱۲۲ هزار کیلومتر مربع (۴/۷ درصد از مساحت کل کشور) پس از استان‌های سیستان و بلوچستان و کرمان و یزد چهارمین استان از نظر وسعت در کشور می‌باشد. شهرستان اقلید با وسعت ۷۰۵۴ کیلومتر مربع قریب به ۷/۵ درصد کل مساحت خاکی استان فارس را به خود اختصاص داده است. این شهرستان دارای دو نقطه شهری اقلید و سده، سه بخش، نه دهستان و هشتاد روستا می‌باشد. محدوده‌ی جغرافیایی آن ۵۲ درجه و ۵۵ دقیقه طول شرقی و ۳۱ درجه و ۱۳ دقیقه عرض شمال است. از شمال به شهرستان آباد، از جنوب به شهرستان مرودشت و سپیدان، از شرق به شهرستان خرمبید و از غرب به استان‌های اصفهان و کهگیلویه و بویراحمد محدود می‌شود. در شکل (۱) محدوده‌ی جغرافیایی شهرستان اقلید آرایه شده است.

ضعف در طراحی سیستم آبیاری می‌باشد. Mikhakbayranvand et al. (2014) در بررسی بازده سیستم‌های آبیاری بارانی خرم‌آباد به این نتیجه رسیدند که همه‌ی سیستم‌ها دارای بازده کاربرد و بازده ترکیبی اندک بودند. Yousefifard et al. (2014) عملکرد سیستم‌های آبیاری بارانی کلاسیک ثابت شهرستان کوه‌دشت را مورد ارزیابی قرار دادند. نتایج حاصل از ارزیابی نشان داد که در یکی از مزارع مقدار ضریب یکنواختی توزیع ۷۰ درصد و میزان یکنواختی توزیع ۴۷ درصد است. این ضرایب برای مزرعه دوم به ترتیب برابر ۷۹ و ۵۷ درصد به دست آمد که از مقادیر پیشنهادی مریام و کلر کمتر بودند. Sanaei (2013) در ارزیابی سیستم‌های بارانی در استان کرمان، پارامترهای بازده کاربرد، بازده پتانسیل و واقعی کاربرد در ربع پایین، یکنواختی توزیع در ربع و نصف پایین، ضریب یکنواختی کریستیانسن، کفایت آبیاری در سیستم‌های کلاسیک ثابت با آب‌پاش متحرک را به ترتیب برابر ۳۹/۹، ۲۳/۷۱، ۴۹/۶۱، ۵۷/۳۶، ۷۰/۴۶، ۷۰/۰۴، ۳۴/۷۴ درصد به دست آوردند. Najafimood et al. (2007) نه سیستم آبیاری بارانی را در استان خراسان جنوبی مورد ارزیابی قرار دادند. نتایج نشان داد عمده‌ترین دلایل پایین بودن یکنواختی توزیع و بازده در سیستم‌ها، کیفیت نامناسب و غیر استاندارد بودن وسایل و تجهیزات، تغییرات فشار بیش از حد مجاز طراحی و شرایط اقلیمی از قبیل بادهای شدید، گرمای هوا و پایین بودن رطوبت نسبی می‌باشد.

در تحقیق Bavi et al. (2009) گزارش شد که بازده کاربرد آب در سامانه‌های آبیاری بارانی قبل از هر چیز به وسیله میزان تلفات تبخیر و باد کنترل می‌شود. Yacoubi et al. (2012) در پژوهشی بیان نمودند سرعت باد و رطوبت نسبی از متغیرهای مهم و مؤثر بر تلفات تبخیر و بادبردگی می‌باشد. Topak et al. (2005) عملکرد سیستم آبیاری بارانی کلاسیک نیمه‌متحرک در یکی از مناطق با اقلیم نیمه‌خشک در ترکیه را مورد ارزیابی قرار دادند. در این تحقیق میانگین ضریب یکنواختی کریستیانسن و بازده پتانسیل کاربرد در ربع پایین ۸۶/۷ و ۸۰/۶ است. Louie و Selker (2000) به بررسی اثرات عملکرد

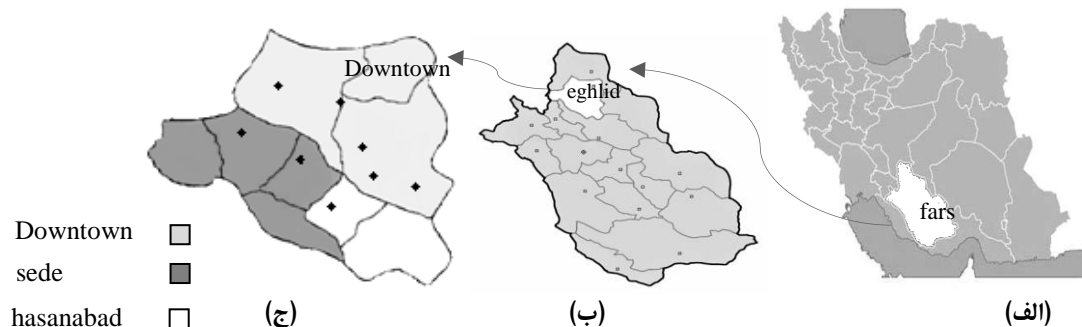


Fig 1- Geographic location of Fars province (a), Eghlid city (b), Different parts and the central point of the city(c)

شکل ۱- (A) موقعیت جغرافیایی استان فارس، (B) شهرستان اقلید، (C) بخش‌های مختلف و نقطه مرکزی شهرستان

روش انجام تحقیق

در این مطالعه، عملیات مزرعه‌ای در تابستان سال ۱۳۹۴ در ماه‌های تیر، مرداد و شهریور، در نیمه اول روز، در هشت مزرعه انجام شد. سیستم‌های آبیاری از هشت روستای واقع در اقلید به‌طور کاملاً تصادفی و با پراکنش قابل قبول انتخاب شد. به‌گونه‌ای که حداقل یک فصل زراعی از بهره‌برداری آن‌ها سپری شده بود. مشخصات سیستم‌های آبیاری بارانی مورد ارزیابی در جدول (۱) ارائه شده است. در هر مزرعه، علاوه بر پرسش‌نامه که توسط مسئول آبیاری تکمیل گردید، از سیستم‌ها بازدید شد تا از صحت پاسخ‌های داده شده اطمینان حاصل شود. پس از بازدید به جمع‌آوری اطلاعات اولیه و اندازه‌گیری‌های مزرعه‌ای پرداخته شد. اطلاعات اولیه شامل نقشه طرح، توپوگرافی زمین، مشخصات سیستم نظیر منابع تامین آب از نظر کمی و کیفی، پمپاژ، لوله‌های اصلی، آب‌پاش‌ها و ... بود. اندازه‌گیری پارامترهای گیاهی و پارامترهای اقلیمی شامل اندازه‌گیری عمق ریشه به‌وسیله خط‌کش، سرعت باد، تبخیر، رطوبت و درجه حرارت از نزدیک‌ترین ایستگاه بود.

جدول (۲) خلاصه مشخصات ماهانه هواشناسی اقلید سال ۱۳۹۴ را نشان می‌دهد. پارامترهای اندازه‌گیری‌شده خاک شامل بافت خاک (به روش هیدرومتری و استفاده از مثلث بافت خاک)، جرم مخصوص ظاهری، هدایت الکتریکی، اسیدیته خاک اشباع، کمبود رطوبتی خاک، سرعت نفوذپذیری نهایی خاک (به روش ساده با آب‌پاش منفرد) بودند. میزان آبی که باید به خاک داده شود تا رطوبت خاک به ظرفیت زراعی برسد را کمبود رطوبت خاک (SMD) می‌نامند. جهت اندازه‌گیری کمبود رطوبتی خاک،

نمونه خاک قبل از زمان آبیاری و در حد ظرفیت زراعی (FC) برداشت شد. جهت اندازه‌گیری (FC)، از دسته‌ای که قبلاً آبیاری شده بود (مثلاً ۸ ساعت پیش، ۱۶ ساعت پیش، یک روز قبل، دو روز قبل و...) نمونه برداشت شد و رطوبتی که تقریباً حد ثابتی داشت، به‌عنوان رطوبت (FC) عنوان شد. سپس از رطوبت‌های دو روز آخر میانگین گرفته و رطوبت در حد ظرفیت زراعی (FC) به‌دست آمد. جدول (۳) برخی از خصوصیات فیزیکی و شیمیایی خاک مناطق مورد مطالعه را نشان می‌دهد. برای اندازه‌گیری دبی آب‌پاش از یک ظرف ۲۰ لیتری، دو و گاهی سه قطعه شیلنگ ۱/۵ متری (با توجه به نوع آب‌پاش) و زمان سنج استفاده شد. به‌منظور اندازه‌گیری فشار آب‌پاش از لوله پیتو و فشارسنج متصل به آن استفاده گردید.

برای اندازه‌گیری توزیع آب در مزرعه، از لوله جانبی که در وسط مزرعه قرار داشت و مکانی که دارای فشار متوسط در طول لوله جانبی بود، استفاده شد (Merriam and Keller, 1978). بعد از تعیین محل مناسب انجام آزمایش، مساحت بین دو آب‌پاش (مساحت بلوک آزمایش) با استفاده از متر نواری و میخ‌های چوبی به فواصل ۵×۵ متری ($\frac{1}{6}$ فاصله آب‌پاش‌ها) شبکه‌بندی شد. در نهایت ۵۰ عدد قوطی جمع‌آوری آب هم‌اندازه و یکسان با قطر و ارتفاع ۱۴/۴ و ۱۲ سانتی‌متر در نقاط شبکه قرار داده شد. بعد از پایان مدت آزمایش (۱/۵ تا ۲/۵ ساعت)، بلافاصله حجم آب جمع‌شده در قوطی‌ها با استفاده از استوانه مدرج قرائت شد. در شکل (۲) ترتیب قرار گرفتن قوطی‌ها در اطراف آب‌پاش‌ها را نشان می‌دهد.

جدول ۱- مشخصات سیستم‌های آبیاری بارانی مورد مطالعه

Table 1- Specifications of the studied sprinkler irrigation systems

System code	Village	System type	product type	Area	Water supply	Sprinkler distances	Sprinkler Model
GW ₁	Shahrmian	Fixed classic	Clover	25	Agricultural wells	25*25	VYR155
GW ₂	Khonjagesht	Fixed classic	Wheat	10	Agricultural wells	25*25	AMBOO
GW ₃	Cheshmeran a	Fixed classic	potato	5	Agricultural wells	25*25	VYR155
GW ₄	Nezamabad	Fixed classic	Sugar beet	10	Agricultural wells	25*25	VYR155
GW ₅	Hasanabad	Fixed classic	potato	8	Agricultural wells	25*25	VYR155
GW ₆	Namdan	Fixed classic	Alfalfa	10	Agricultural wells	25*25	AMBOO
GW ₇	Aspas	Fixed classic	Wheat	10	Agricultural wells	25*25	VYR155
GW ₈	Sede	Fixed classic	potato	5	Agricultural wells	25*25	VYR155

جدول ۲- خلاصه مشخصات ماهانه ایستگاه هواشناسی اقلید در سال ۱۳۹۴

Table 2- Summary of the monthly details of the Eghlid meteorological station in 2015

month	Evaporation (mm)	Average humidity(%)	Rain (mm)	Temperatures (Centigrade)			wind speed (m/s)
				Maximum	minimum	medium	
April	167.2	40	68.4	23	-2.2	12.2	1.9
May	302.2	34	15.2	27.4	3	16.5	2.3
June	427.3	22	0	33	10.4	21.8	1.7
July	408.5	24	6.9	33	13.2	23.6	1.52
August	312.6	26	3.7	31	12.4	21.5	1.58
September	237.6	32	6.2	32	10	19.8	5.5
October	217	26	0	27	6	17	1.53
November	168	43	32.6	32.8	-2.4	10.4	2.22
December	0	45	21.4	17	-8.6	4.2	1.78
January	0	47	90.7	14.4	-8	3.5	2.11
February	0	43	17.4	14.4	-10.2	2.7	2.29
March	91.2	37	17.2	19	-5.6	8.8	2.28

جدول ۳- برخی از خصوصیات فیزیکی و شیمیایی خاک مزارع

Table 3- Some physical and chemical properties of soil

System code	Soil pattern	Bulk density ($\frac{gr}{cm^3}$)	Electrical conductivity $EC(\frac{dS}{m})$	Acidity of saturated soil	Soil Moisture Deficit (mm)	Ultimate Permeability Rate ($\frac{cm}{hr}$)
GW ₁	loamy Clay	1.34	0.580	7.95	49	1.92
GW ₂	Sandy loamy	1.35	0.480	7.57	21	5.1
GW ₃	loamy Clay Silati	1.3	0.365	7.52	42	1.46
GW ₄	loamy Clay	1.14	0.99	7.55	38.9	1.32
GW ₅	loamy	1.2	0.739	8.35	68.7	1.9
GW ₆	loamy Clay	1.3	0.5	8.17	48.4	1.53
GW ₇	loamy Clay	1.12	0.69	7.46	42.1	1.22
GW ₈	Clay Silty	1.21	0.6	7.95	13	0.8

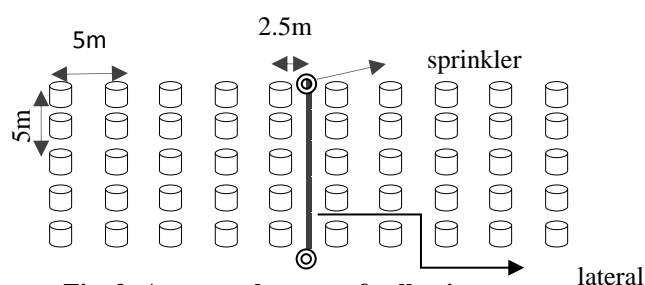


Fig. 2- Arrange the cans of collecting water
 شکل ۲- ترتیب قرار گرفتن قوطی‌های جمع‌آوری آب

$$CU = \left(1 - \frac{\sum |D_i - \bar{D}|}{\bar{D} \times n}\right) \times 100 \quad (۱)$$

که در این رابطه D_i : عمق آب در هر یک از قوطی‌ها (میلی‌متر)، \bar{D} : متوسط عمق آب جمع‌شده در قوطی‌ها (میلی‌متر) و n : تعداد قوطی‌ها می‌باشد.
 یکنواختی توزیع آب در ربع پایین (Distribution Uniformity) (DU) (درصد) نیز از رابطه (۲) برای تمام مزارع

شاخص‌های مورد ارزیابی

پس از جمع‌آوری اطلاعات مورد نیاز از اندازه‌گیری‌های مزرعه-ای، ضریب یکنواختی کریستیانسن، یکنواختی توزیع ربع پایین و نصف پایین، بازده واقعی و پتانسیل کاربرد آب در ربع پایین برای هر یک از مزارع آزمایشی به شرح زیر محاسبه گردید. جهت محاسبه ضریب یکنواختی کریستیانسن (Christensen Uniformity Coefficient) (CU) (درصد) از رابطه (۱) استفاده شد. (Merriam and Keller, 1987).

$$AELQ_s = (1 - ER) \times AELQ \quad (۸)$$

در روابط (۷) و (۸)، $PELQ_s$ و $AELQ_s$ به ترتیب بازده پتانسیل و واقعی کاربرد در کل سیستم آبیاری (درصد) می باشد و ER ضریب کاهش بازده می باشد که از رابطه (۹) به دست آمد:

$$ER = \frac{0.2 \times (P_{man} - P_{min})}{P_{mean}} \quad (۹)$$

که در رابطه بالا P_{max} ، P_{min} و P_{mean} به ترتیب حداکثر و حداقل و میانگین فشار (بار) است. در صورتی که میانگین یک چهارم آب ذخیره شده برابر یا کمتر از کمبود رطوبت خاک باشد، بازده واقعی با بازده پتانسیل کاربرد برابر می (Ghasemzade Mojaveri, 1970) آب در هنگام خروج از آب پاش ها به صورت قطرات ریز در آمده که در اثر باد از منطقه تحت آبیاری خارج می گردد و مقداری از آن نیز تبخیر می شود و به تاج پوشش گیاه نمی رسد که تلفات تبخیر و بادبردگی (Wind and Evaporation Losses) (WDEL) نامیده می شوند. تلفات تبخیر و بادبردگی از رابطه (۱۰) محاسبه شد (Dechmi et al., 2003).

$$WDEL = \left(\frac{D_r - \bar{D}}{D_r} \right) \quad (۱۰)$$

از روابط (۱۱) و (۱۲) برای محاسبه درصد نفوذ عمقی (D_p) (Deep Percolation Losses)، به ترتیب برای دو حالت آبیاری کامل و ناقص استفاده شد:

$$D_p = \left(\frac{\bar{D} - SMD}{D_r} \right) \times 100 \quad (۱۱)$$

آبیاری ناقص:

$$D_p = \left(\frac{V_{zi} - (SMD \times AD_{irr} \times S_1 \times S_m)}{q \times T_{irr}} \right) \times 100 \quad (۱۲)$$

در این روابط S_m : فاصله لوله های فرعی از یکدیگر روی لوله اصلی (متر)، S_1 : فاصله آب پاش ها از یکدیگر روی لوله فرعی (متر)، q : متوسط دبی آب پاش (مترمکعب بر ثانیه)، T_{irr} : مدت زمان آبیاری (ثانیه)، AD_{irr} : کفایت آبیاری (درصد) و V_{zi} : کل حجم آب نفوذ کرده در منطقه ای است که بیشتر یا مساوی با SMD آب خورده است (مترمکعب).

رابطه (۱۳) و (۱۴) به ترتیب کفایت آبیاری و کل حجم آب نفوذ کرده در خاک را نشان می دهد.

$$AD_{irr} = \left(\frac{N_i}{N} \right) \times 100 \quad (۱۳)$$

محاسبه شد، (Ghasemzade Mojaveri, 1970) (Merriam and Keller, 1987).

$$DU = \left(\frac{D_q}{D} \right) \times 100 \quad (۲)$$

که در آن D_q : متوسط عمق آب در یک چهارم کمترین مقادیر اندازه گیری شده (میلی متر) می باشد. برای نسبت دادن ضرایب یکنواختی محاسبه شده به کل سیستم، روابط (۳) و (۴) به کار گرفته شد (Topak et al., 2005).

$$CU_s = CU \left[\frac{1 + \left(\frac{P_{min}}{P_{mean}} \right)^{0.5}}{2} \right] \quad (۳)$$

$$DU_s = DU \left[\frac{1 + 3 \left(\frac{P_{min}}{P_{mean}} \right)^{0.5}}{4} \right] \quad (۴)$$

که در این روابط DU_s و CU_s به ترتیب ضریب یکنواختی کریستیانسن و یکنواختی توزیع سامانه، P_{min} و P_{mean} به ترتیب حداقل و میانگین فشار (بار) می باشد.

برای تعیین بازده واقعی کاربرد در ربع پایین (Actual efficiency of Low Quarter) (AELQ) از معادله (۵) استفاده شد (Merriam and Keller, 1987) (Ghasemzade Mojaveri, 1970).

$$AELQ = \left(\frac{D_q}{D_r} \right) \times 100 \quad (۵)$$

در رابطه (۵) D_r : متوسط عمق آب آبیاری (اندازه گیری شده از سر نازل) (میلی متر) است. این رابطه زمانی استفاده می شود که کمبود رطوبتی خاک (Soil Moisture Deficit) بیشتر از متوسط عمق آب در یک چهارم کمترین مقادیر اندازه گیری شده باشد در غیر این صورت SMD به جای D_q در صورت کسر فوق قرار می گیرد. بازده پتانسیل کاربرد در ربع پایین (Potential Application Efficiency of Low Quarter) (PELQ) Quarter) که حداکثر بازده قابل تصور برای یک سیستم آبیاری است نیز با استفاده از رابطه (۶) محاسبه شد (Ghasemzade Mojaveri, 1970) (Merriam and Keller, 1987).

$$PELQ = \left(\frac{D_q}{D_r} \right) \times 100 \quad (۶)$$

به دلیل اختلاف فشار که در اثر افت اصطکاک و شرایط توپوگرافی به وجود می آید، بازده پتانسیل و واقعی کاربرد کل سیستم آبیاری، کمتر از مقادیر آن ها برای بلوک آزمایش است. لذا برای تعمیم مقادیر به دست آمده در بلوک آزمایش به کل سیستم آبیاری از روابط زیر استفاده شد (Ghasemzade Mojaveri, 1970):

$$PELQ_s = (1 - ER) \times PELQ \quad (۷)$$

(Combination ترکیبی بازده همچنین al.,2014). Efficiency) (درصد) به کمک رابطه (۱۹) محاسبه شد:

$$E_c = \frac{(100 - D_p)(100 - WDEL)}{100} \quad (19)$$

نتایج و بحث

جدول (۴)، پارامترهای ضریب یکنواختی کریستیانسن، یکنواختی توزیع آب در ربع پایین، بازده پتانسیل و بازده واقعی کاربرد در ربع پایین در بلوک آزمایش و سیستم آبیاری را نشان می‌دهد. همان‌طور که در جدول (۴) مشاهده می‌شود متوسط ضریب یکنواختی کریستیانسن و یکنواختی توزیع در ربع پایین در بلوک آزمایشی به ترتیب برابر ۷۶/۲۲ و ۶۵/۹۹ درصد محاسبه شده که کمتر از مقادیر توصیه شده مریام و کلر می‌باشد (Merriam (۰/۶۷ ≤ DU ≤ ۰/۸۰ و ۰/۸۷ ≤ CU ≤ ۰/۸۷) and Keller, 1987). بالاترین مقادیر ضریب یکنواختی و یکنواختی توزیع در بلوک آزمایشی مربوط به سیستم‌های آبیاری GW₂ می‌باشد. علت بالا بودن این مقادیر می‌تواند به خاطر انتخاب فاصله مناسب بین آب‌پاش‌ها، نوع آب‌پاش و نیز شرایط آب و هوایی مناسب (باد و دما) باشد. Baradaranhazave et al. (2006) در تحقیقی که در اراک انجام دادند، فاصله مناسب آب‌پاش‌ها (۲۱×۲۵) را یکی از دلایل اصلی بالا بودن ضرایب یکنواختی بیان نمودند. دلیل پایین بودن ضریب یکنواختی و یکنواختی توزیع بلوک آزمایشی در سیستم GW₇ نسبت به سایر سیستم‌های آبیاری را می‌توان تلفات آب در اثر بادبردگی و تبخیر بیان نمود. مناسب نبودن فاصله آب‌پاش‌ها و عمود نبودن پایه آب‌پاش نیز از عوامل محدودکننده کارایی این سیستم آبیاری بوده است. در این سیستم آبیاری آرایش شبکه ۲۵×۲۵ متر بوده که در صورت کاهش فاصله، میزان ضریب یکنواختی و یکنواختی توزیع بیشتر از مقادیر جدول (۴) خواهد شد.

Faryabi et al. (2010) در بررسی سیستم‌های آبیاری کلاسیک ثابت دشت دهلگان، پایین بودن فشار در سیستم آبیاری و زیاد بودن فاصله آب‌پاش‌ها را دلیل پایین بودن ضرایب یکنواختی دانستند. میانگین بازده پتانسیل و واقعی کاربرد در ربع پایین در بلوک به ترتیب برابر ۵۸/۴۴ و ۵۵/۹۵ درصد محاسبه شد. با توجه به اینکه Merriam و Keller (1987) محدوده‌ی مجاز بازده پتانسیل کاربرد آب را ۶۵ تا ۸۵ درصد توصیه کردند، مقادیر محاسبه شده کمتر از حد مورد انتظار بود. کم‌آبیاری در سیستم‌های آبیاری GW₁، GW₂، GW₃، GW₄، GW₅، GW₆ و GW₇ باعث بالا رفتن بازده واقعی کاربرد آب تا حد بازده پتانسیل کاربرد شده است. به علت اجرای نادرست در سیستم آبیاری GW₈، بازده پتانسیل کاربرد ربع پایین نیز بسیار کم و غیرقابل پذیرش است.

در رابطه (۱۳): N₁: تعداد قوطی‌های مورد آزمایش که آب جمع شده در آن‌ها بیشتر یا مساوی با SMD است و N: تعداد کل قوطی‌های مورد استفاده بوده است.

$$V_{zi} = \sum_{i=1}^{D_i \geq SMD} (D_i \times A_i) \times S_1 \times S_m \quad (14)$$

در این رابطه: A_i: درصد مساحتی است که توسط هر یک از قوطی‌های جمع‌آوری آب پوشیده شده است (100/N) و D_i: عمق آب جمع شده در قوطی‌هایی است که مقداری بیشتر از SMD دارند (سانتی‌متر).

کفایت آبیاری در ربع پایین (Adequacy irrigation in Low Quarter) از رابطه‌ی (۱۵) محاسبه شد.

$$AD_{irr(\frac{1}{4})} = \left(\frac{D_q}{SMD} \right) \times 100 \quad (15)$$

اگر D_q معیار برنامه‌ریزی آبیاری باشد، مدت زمان آبیاری مناسب، منجر به کفایت آبیاری در ربع پایین (برابر با ۱۰۰ درصد) می‌شود. در این حالت حدود یک هشتم مزرعه آب کمتری نسبت به میانگین کمترین ربع دریافت می‌کند. با این تعریف، کفایت آبیاری در ربع پایین کوچک‌تر از یک نشان‌دهنده‌ی کم‌آبیاری و بزرگتر از یک نشان‌دهنده‌ی آبیاری بیش از حد است (Louie and Selker, 2000) بازده کاربرد (Application Efficiency) عبارت است از حجم آب ذخیره شده در منطقه توسعه ریشه به حجم آبی که توسط آب‌پاش وارد زمین شده است (Alizade, 2009b). بازده کاربرد برای دو حالت آبیاری کامل و آبیاری ناقص برحسب درصد از رابطه (۱۶) و (۱۷) محاسبه شد:

آبیاری کامل:

$$E_a = \left(\frac{SMD}{D_r} \right) \times 100 \quad (16)$$

آبیاری ناقص:

$$E_a = \left(\frac{(SMD \times AD_{irr} \times S_1 \times S_m) + V_{zi}}{q \times T_{irr}} \right) \times 100 \quad (17)$$

در رابطه (۱۷)، V_{zi}: کل حجم آب نفوذ کرده (مترمکعب) در منطقه‌ای که آبیاری ناکافی بوده است که برای محاسبه آن از رابطه ۱۸ استفاده شد:

$$V_{zi} = \sum_{i: D_i \leq SMD}^N (D_i \times A_i) \times S_1 \times S_m \quad (18)$$

D_i: عمق آب جمع شده در قوطی‌هایی است که کمتر یا برابر از مقدار SMD هستند (سانتی‌متر) (Mikhakbayranvand et

جدول ۴- خلاصه نتایج پارامترهای ارزیابی در سیستم‌های آبیاری بارانی کلاسیک ثابت با آب پاش متحرک

Table 4- Summary of Results Evaluation Parameters in fixed Classic Sprinkler Irrigation Systems of moving sprinkler

System code	Actual efficiency of Low Quarter	Potential Application Efficiency of Low Quarter	Distribution Uniformity	Christensen Uniformity Coefficient	Actual efficiency of Low Quarter	Potential Application Efficiency of Low Quarter	Distribution Uniformity	Christensen Uniformity Coefficient
System(%)				Test block(%)				
GW ₁	63.97	63.97	68.73	75.19	66.64	66.64	70.52	76.48
GW ₂	57.67	57.67	72.99	81.77	62.44	62.44	76.47	84.33
GW ₃	66.90	66.90	62.88	74.71	70.13	70.13	64.80	76.22
GW ₄	58.46	58.46	63.11	70.59	61.18	61.18	64.95	71.95
GW ₅	59.34	59.34	67.76	81.48	62.66	62.66	76.41	83.36
GW ₆	46.42	46.42	68.99	79.43	49.61	49.61	71.97	81.68
GW ₇	30.94	30.94	33.44	56.38	35.55	35.55	41.48	64.74
GW ₈	34.98	52.4	56.65	67.4	39.4	59.35	61.39	71.05
Maximum	66.9	66.9	72.99	81.77	70.13	70.13	76.47	84.33
minimum	30.94	30.94	33.44	58.38	35.55	35.55	41.48	64.74
medium	52.31	54.51	61.82	73.37	55.95	58.44	65.99	76.33

است، نیز کاهش خواهد یافت. در تحقیق مشابهی که توسط Sieyahposh و Dahanzade (2014) در شهرستان خرم‌آباد انجام شد، نتایج ارزیابی نشان داد پنج سیستم آبیاری (از شش سیستم آبیاری) دارای اختلاف فشار از بیشتر حد مجاز (۲۰ درصد) بودند و همواره این اختلاف فشار به‌وجود آمده ناشی اصطکاک و شرایط توپوگرافی زمین بوده است که به‌علت این نوسانات فشار، مقدار ER در سیستم‌های آبیاری متفاوت بوده است.

جدول (۶) اطلاعات کلی نمونه‌برداری سیستم‌های آبیاری مورد مطالعه را نشان می‌دهد. میزان نفوذپذیری آب در خاک، در سیستم‌های آبیاری GW_4 ، GW_6 ، GW_7 و GW_8 از شدت خروج آب از آب‌پاش کمتر بود. به همین علت در قسمت‌هایی از مزرعه رواناب ایجاد می‌شد. از جمله دلایل مهم ایجاد رواناب در سطح مزرعه در این سیستم‌ها، عدم انتخاب صحیح نوع آب‌پاش و نوع بافت خاک بود. نوع بافت خاک در سیستم‌های آبیاری GW_4 ، GW_6 ، GW_7 و GW_8 از نوع لومی رسی و رسی سیلتی بود که از نوع خاک‌های ریز بافت به‌شمار می‌آمدند. زیاد بودن شدت خروج آب از آب‌پاش نسبت به نفوذپذیری باعث تلفات زیاد آب می‌شود.

پارامترهای مربوط به فشار کارکرد مورد استفاده در سیستم‌های آبیاری در جدول (۵) ارائه شده است. با توجه به اینکه کلیه سیستم‌های آبیاری بارانی کلاسیک ثابت در منطقه با فشار کارکرد متوسط چهار بار طراحی شده‌اند، از بین سیستم‌های آبیاری بررسی شده، فقط سیستم آبیاری GW_1 دارای فشار مناسب بود و بقیه سیستم‌های آبیاری، فشار میانگین نامناسب و کمتر از مقدار طراحی شده داشتند. در چنین تغییرات فشار در سیستم‌های آبیاری GW_4 و تا حدودی GW_3 در حد مجاز بود، لذا ضریب یکنواختی و یکنواختی توزیع در کل سیستم آبیاری نسبت به مقادیر اندازه‌گیری شده در بلوک آزمایشی کاهش چشم‌گیری پیدا نکرد. اختلاف فشار موجود در سیستم آبیاری GW_8 باعث کاهش یکنواختی توزیع و در نتیجه کاهش بازده پتانسیل کاربرد شده است. بازده واقعی و بازده کاربرد آب در ربع پایین در این سیستم آبیاری به ترتیب $4/6$ و $6/95$ درصد نسبت به بلوک آزمایش کاهش داشت. در این سیستم آبیاری، تلفات آب در مسیر لوله‌ها، به‌خصوص در محل اتصالات، باعث اصطکاک شده بود. در صورتی که مدیریت مزرعه فشار کارکرد سیستم آبیاری و آب‌پاش‌ها را افزایش دهد، ضریب کاهش بازده که برابر $0/12$

جدول ۵- تغییرات فشار در سیستم‌های آبیاری بارانی کلاسیک ثابت با آب‌پاش متحرک

Table 5- Pressure changes in fixed Classic Sprinkler Irrigation Systems of moving sprinklerin

System code	Reduction efficiency	Pressure changes(%)	Minimum pressure(bar)	Maximum pressure(bar)	Maximum pressure(bar)
GW_1	0.04	20	4.2	5.1	4.5
GW_2	0.076	38	3	4.3	3.4
GW_3	0.046	23	3.2	4	3.47
GW_4	0.044	22	5	6.2	5.4
GW_5	0.053	26	3.1	4	3.4
GW_6	0.064	32	2.5	3.4	2.8
GW_7	0.13	50	3	4.8	3.6
GW_8	0.12	59	3.2	3.8	2.73

جدول ۶- اطلاعات کلی نمونه‌برداری سیستم‌های آبیاری بارانی کلاسیک ثابت با آب‌پاش متحرک

Table 6- General information on the sampling of fixed Classic Sprinkler Irrigation Systems of moving sprinkler

System code	The intensity of the outlet from the sprinklers ($\frac{mm}{hr}$)	Medium intensity of spraying on the ground ($\frac{mm}{hr}$)
GW_1	17.8	16.88
GW_2	13.3	10.84
GW_3	12.1	10.9
GW_4	15.14	14.26
GW_5	16.7	14.25
GW_6	16.24	11.19
GW_7	15.55	13.32
GW_8	13.19	12.76

آبپاش‌ها روی لوله فرعی میزان یکنواختی افزایش می‌یابد. کمبودن فشار سیستم نسبت به فشار طراحی نیز باعث برهم خوردن الگوی پاشش مناسب و کاهش یکنواختی در سیستم آبیاری GW_8 شده است. در همان‌طور که در شکل (۳) مشاهده می‌شود بیش‌ترین عمق آبیاری در سیستم آبیاری GW_8 در فاصله $7/5 \times 12/5$ متری از لوله فرعی است و با دورتر شدن از آبپاش‌ها میزان عمق آب آبیاری کاهش می‌یابد، به‌طوری‌که در دو طرف لوله جانبی تنها تا شعاع ۲۲/۵ متری پاشش وجود داشته است. نتایج تحقیقات Salem (2010) نیز نشان داد که کاهش فاصله استقرار آبپاش‌ها باعث افزایش ضرایب یکنواختی در سیستم‌های آبیاری کلاسیک ثابت می‌شود.

شکل (۳) الگوی پخش آب در اطراف لوله جانبی را در سیستم‌های آبیاری GW_7 و GW_8 نشان می‌دهد. در سیستم آبیاری GW_7 وضعیت نامناسب توزیع آب به‌خاطر انتخاب آرایش نامناسب است. با توجه به الگوی پاشش در سیستم آبیاری GW_7 ، با دورتر شدن از لوله جانبی، عمق آب دریافتی کمتر شده، به‌طوری‌که در یک سمت لوله جانبی تا شعاع ۱۸ متر و در سوی دیگر تا شعاع ۲۳ متر پاشش وجود داشت. میزان پاشش در انتهای شعاع‌های ذکرشده در این سیستم آبیاری اندک بود که می‌توان از آبپاش‌هایی با برد بیشتر استفاده کرد. تراکم منحنی‌ها در اطراف یکی از آبپاش‌ها در سیستم آبیاری GW_7 نشان‌دهنده‌ی فشار بالاتر این آبپاش نسبت به آبپاش دیگر است. با کاهش فاصله

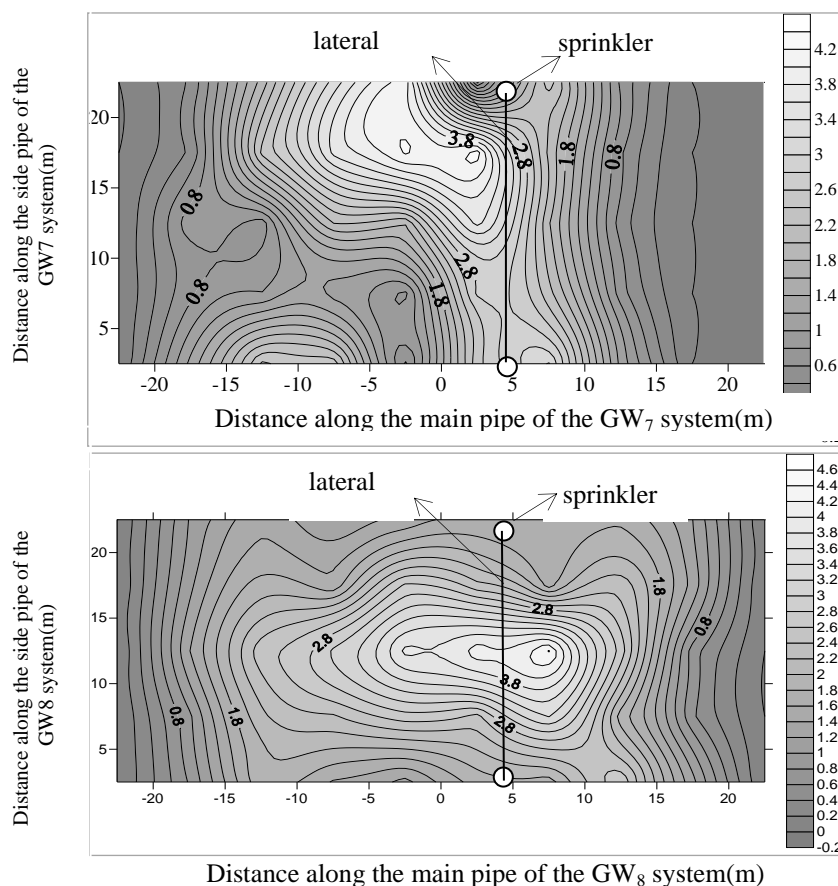


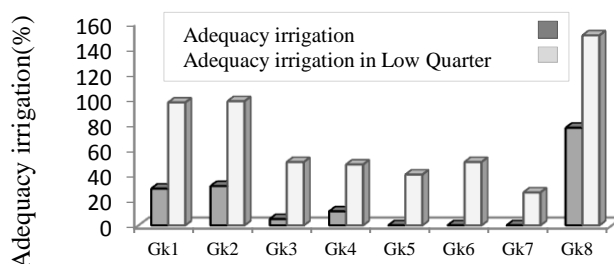
Fig. 3 - Water distribution pattern around adjacent tube tested by GW_7 and GW_8 irrigation systems

شکل ۳- الگوی پخش آب در اطراف لوله جانبی مورد آزمایش سیستم‌های آبیاری GW_8 و GW_7

که بیشتر از بقیه‌ی سیستم‌های آبیاری بود. تلفات تبخیر و بادبردگی در سیستم آبیاری GW_6 نسبت به دیگر سیستم‌های آبیاری ارزیابی‌شده بیشتر بود که می‌توان علت این امر را دمای بسیار بالای هوا ذکر نمود. شکل (۶) بازده ترکیبی و کاربرد در هشت سیستم آبیاری را نشان می‌دهد. به دلیل زیاد بودن تلفات آبیاری در سیستم آبیاری GW_8 ، بازده ترکیبی و بازده کاربرد، مقادیر کمی را به خود اختصاص داده‌اند. زیاد بودن بازده ترکیبی و بازده کاربرد در سیستم آبیاری GW_4 نشان‌دهنده‌ی تلفات آبیاری کم است. تلفات نفوذ عمقی در این سیستم آبیاری کم و حدود $2/73$ درصد به دست آمد. هم‌چنین میزان تلفات تبخیر و بادبردگی در این سیستم آبیاری $5/81$ درصد است. در سیستم‌های آبیاری GW_5 ، GW_6 و GW_7 که آبیاری کمتر از نیاز صورت گرفته تلفات عمقی وجود نداشت ($SMD_{GW5}=68/7$)، $SMD_{GW6}=48/4$ و $SMD_{GW7}=42/1$ (زمان آبیاری در سیستم آبیاری GW_5 ، GW_6 و GW_7 به ترتیب $2/5$ ، 3 و 2 ساعت بوده است).

در شکل (۴) کفایت آبیاری در ربع پایین در هشت سیستم آبیاری نشان داده شده است. همان‌طور که ملاحظه می‌شود کفایت آبیاری در ربع پایین در سیستم آبیاری GW_8 بیشتر از 100 درصد می‌باشد که اختلاف این عدد از 100 نشان‌دهنده‌ی این است که مزرعه بیش از نیاز آب دریافت کرده است، لذا مدیریت مزرعه می‌تواند با کاهش مدت زمان آبیاری از تلفات نفوذ عمقی زیاد جلوگیری و بازده واقعی کاربرد را تا حد بازده پتانسیل ربع پایین افزایش دهد (زمان آبیاری در این سیستم آبیاری 3 ساعت بوده است). (Mikhakbayranvand et al. (2014) در خرم‌آباد نیز به نتایج مشابهی دست یافتند.

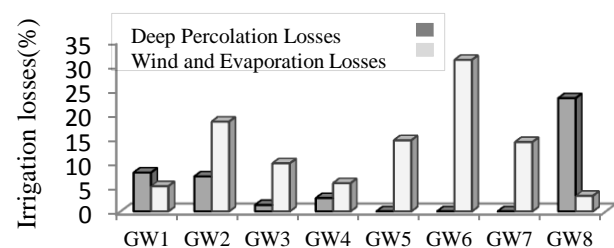
بیشترین کفایت آبیاری 77 درصد در سیستم GW_8 بود. هم‌چنین در سیستم‌های آبیاری GW_5 ، GW_6 و GW_7 گیاه تحت تنش بسیار زیادی قرار داشت. با کاهش دور آبیاری و افزایش زمان آبیاری می‌توان کفایت آبیاری را افزایش داد. شکل (۵) تلفات آبیاری را نشان می‌دهد. حدود $26/49$ درصد آب به کاررفته در سیستم آبیاری GW_8 صرف تلفات آبیاری شد



Irrigation system studied

Fig. 4- Adequacy irrigation in evaluated irrigation systems

شکل ۴- کفایت آبیاری در سیستم‌های آبیاری مورد ارزیابی



Irrigation system studied

Fig. 5- Irrigation losses in evaluated irrigation systems

شکل ۵- تلفات آبیاری در سیستم‌های آبیاری مورد ارزیابی

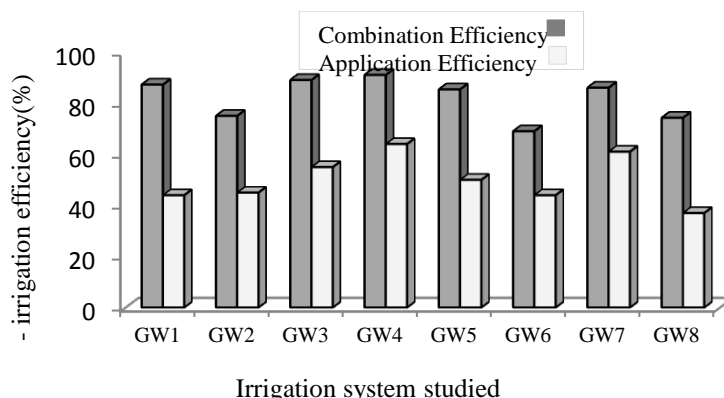


Fig. 6- irrigation Efficiency in evaluated irrigation systems

شکل ۶- بازده آبیاری در سیستم‌های آبیاری مورد ارزیابی

آبیاری، مورد توجه قرار دادن پستی و بلندی‌های زمین و برطرف نمودن مشکل نشستی آب از اتصال‌ها می‌توان تغییرات فشار را کاهش داد و باعث افزایش بازده آبیاری شد. با کم کردن مدت زمان آبیاری، تلفات آبیاری کاهش و بازده ترکیبی و کاربرد آب در سیستم افزایش می‌یابد. بهره‌برداری صحیح و نگهداری از سیستم و استفاده از وسایل با کیفیت می‌تواند در افزایش بازده آبیاری نقش به‌سزایی داشته باشد. همچنین با کاهش تلفات و جلوگیری از تغییرات فشار می‌توان بازده پتانسیل و کاربرد بهتری را انتظار داشت. براساس نتایج این تحقیق توصیه می‌شود سیستم‌های آبیاری حتماً در مراحل اولیه بهره‌برداری مورد ارزیابی قرار گرفته تا مشکلات در همان ابتدا مشخص و رفع گردد.

تقدیر و تشکر

این مقاله از پایان نامه دوره کارشناسی ارشد مصوب و دفاع شده در دانشگاه شهید چمران اهواز استخراج شده است. نویسندگان این مقاله از همه اساتید، مسئولین اداره‌ها و همه افرادی که ما را در انجام و ارتقاء کیفی این پژوهش یاری دادند، تشکر و قدردانی می‌نمایند.

نتیجه‌گیری و پیشنهادها

نتایج ارزیابی سیستم‌های آبیاری بارانی کلاسیک ثابت با آب‌پاش متحرک شهرستان اقلید نشان داد که ضریب یکنواختی در بلوک آزمایش از ۶۴/۷۴ تا ۸۴/۳۳ درصد متغیر است. دلیل پایین بودن ضرایب یکنواختی در سیستم‌های مورد ارزیابی را می‌توان استفاده هم‌زمان از تعداد زیاد آب‌پاش، فشار کارکرد کمتر از میزان موردانتظار و عمود نبودن پایه آب‌پاش‌ها و همچنین فاصله زیاد آب‌پاش‌ها بیان نمود. بازده پتانسیل کاربرد بلوک آزمایش و بازده واقعی کاربرد از ۳۵/۵۵ درصد در سیستم GW₇ تا ۷۰/۱۳ درصد در سیستم GW₃ متغیر بود. ازجمله عوامل کاهش‌دهنده بازده آبیاری در منطقه مورد مطالعه می‌توان به استفاده از لوازم با کیفیت نامناسب، نظارت نامناسب بر اجرای طرح‌ها، طراحی و اجرای نامناسب اشاره کرد. بازده ترکیبی از ۶۹ درصد در سیستم GW₆ تا ۹۱ درصد در سیستم GW₄ متغیر بود. دلیل کاهش بازده ترکیبی و بازده کاربرد در برخی سیستم‌ها تلفات عمقی و تبخیر و بادبردگی بود. تلفات زیاد آبیاری در سیستم‌ها به دلیل طولانی بودن مدت زمان آبیاری، باد شدید و نوع آب‌پاش در منطقه بود. با کاهش طول لوله

References

- 1- Alizade, A., 2009 a. Design of irrigation systems, design of surface irrigation systems, *Astan Quds Razavi Publishing House, Mashhad*, 450 pages. (In Persian).
- 2- Alizade, A., 2009 b. Design of irrigation systems, designing pressure irrigation systems, *Astan Quds Razavi Publishing, Mashhad*. 367 pages. (In Persian).
- 3- Baradaranhazave, F., Broomandnasab, S., Behzad, M. and Hasani Movahed, A., 2006. Technical appraisal of sprinkler irrigation systems implemented in Arak city. National Conference on Irrigation and Drainage Networks Management, *Shahid Chamran University of Ahvaz*. (In Persian).
- 4- Bavi, A., Kashkuli, H.A., Broomand, S., Naseri, A. and M. Albaji. 2009. Evaporation losses from sprinkler irrigation systems under various operating conditions. *Journal Application. Science*. 9(3). pp, 597-600.
- 5- Ce v Se Marde, m. and Ba Yazidi, m., 2011. Technical evaluation of fixed class sprinkler irrigation systems in a case study of West Azarbaijan-Mahabad. *Journal of Water Resources Engineering*, 4, pp. 64-76. (In Persian).

- 6- Dechmi, F., Playan, E., Faci, M., Tarjero, M. and A. Bercero. 2003. Analysis of an irrigation district in northeastern Spain. *Agricultural Water Management*, 61(2).pp, 93-109.
- 7- Faryabi, A., Marofpoor, A. and Ghamarneia. H., 2010. Evaluation and evaluation of classical sprinkler irrigation systems in Daghestan Dehlgan Kordestan. *Journal of Agricultural Science and Technology, Agricultural Sciences, Vol. 14, (54)*, pp. 1-15. (In Persian).
- 8- Ghasemzade Mojaveri, F., 1970. Evaluation of Irrigation Systems of Astan Quds Razavi Publishing Farms, *Imam Reza University, Mashhad*. 329 pages. (In Persian).
- 9- Louie , M.J. and J.S. Selker. 2000. Sprinkler Head maintenance effects on water application uniformity. *Journal of Irrigation and Drainage Engineering*.126(3), pp, 142-148.
- 10- Malekpoor, M., Ebrahimi, H. and Poordarvishi, H., 2015. Estimation of static classical sprinkler irrigation systems in Qazvin Plain. *The 4th Agricultural and Sustainable Natural Resources Conference. Tehran, Higher Education Institute of Mehr Arvand, Promotion Group of Environmental Lovers*. (In Persian).
- 11- Merriam, J.L. and J. Keller. 1978. Farm irrigation system evaluation: A guide for management, Dept of Agric. And Irrigation. Eng. *Utah State Univ. Logan, Utah States*. 285P.
- 12- Mikhakbayranvand, Z., Bromandnasab, S. and Izadpanah, Z., 2014. Irrigation efficiency of irrigation systems in Khorramabad region. *Water and Irrigation Management*. 4 (2), pp. 191-202. (In Persian).
- 13- Montero, J. Tarjuelo, J.M. and P. Carrion. 2003. Sprinkler droplet size distribution measured with an optical spectro pluviometer. *Irrigation. Sciences*. 22. pp, 47-56.
- 14- Najafimood, M., Montazer, A.A. and Behdan, M.A., 2007. Evaluation of a number of pressurized irrigation projects in South Khorasan. *Journal of Agricultural Science and Natural Resources*. 14 (1), pp. 12-25. (In Persian).
- 15- Salem, A. 2010. Evaluation and comparison of stationary and wheeled classical sprinkler irrigation systems implemented in Ghorveh city. Thesis, *Shahid Chamran University of Ahvaz Iran* . (In Persian).
- 16- Sanaei, A., 2013. Technical appraisal of sprinkler irrigation systems implemented in Kerman province. *Shahid Chamran University of Ahvaz, Iran*. (In Persian).
- 17- Sieyahposh, M. and Dahanzade, B., 2014. Evaluation and evaluation of irrigation losses in static classical sprinkler irrigation systems implemented in Khorramabad County Farms. *First National Conference on Sustainable Development of Renewable Natural Resources*. (In Persian).
- 18- Soltani Mohammadi, A., Bromandnasab, S. and Dostmohammadi., M. 2013. Evaluation of Chariot Irrigation System (Pulley or Gan) (Case Study: Ismatieh Farm of Qom). *The fourth National Conference on Irrigation and Drainage Networks, Shahid Chamran University of Ahvaz, Iran*. (In Persian).
- 19- Topak. R., Suheri , S., Ciftci, N. and B. Acar. 2005. Performance evaluation of sprinkler irrigation in a semi-arid earea. *Pakistan Journal of Biological Sciences*, 8(1). pp, 97-103.
- 20- Yacoubi, S., Zayani, K., Slatni, A. and E. Playan . 2012. Assessing sprinkler irrigation Performance using field evaluations at the Medjerda lower valley of Tunisia. *Journal Engineering*. 4(10). pp, 682-691.
- 21- Yousefifard, Y., Khayrabadi, H., Shokri, G. and Yousefi, F., 2014. Evaluation of the classic sprinkler irrigation systems of Kohdasht city and comparison of spraying model using Surfer software. *The First International Conference on New Findings in Agricultural Science, Natural Resources and the Environment. Tehran, Association for the Promotion of Basic Sciences and Technology*. (In Persian).